

基于100 m色散位移光纤的超连续谱实验研究*

李智勇 王肇颖 王永强 贾东方 李世忱

(天津大学精密仪器与光电子工程学院,光电信息技术科学教育部重点实验室,天津300072)

摘要 利用被动锁模掺铒光纤激光器输出的重复频率13.9 MHz、中心波长1557.28 nm的光脉冲作泵浦源,在100 m的色散位移光纤中产生总宽度达488 nm的超连续谱,不平坦度小于±3.0 dB,利用法布里-珀罗滤波器获得163路多波长脉冲,利用可调谐滤波器得到C波段内脉宽为1.2~2.0 ps的近变换限超短光脉冲。分析了泵浦脉冲的功率、光纤长度等因素对SC光谱展宽的作用,并与色散平坦光纤和较长的色散位移光纤作了比较。

关键词 超连续谱;色散位移光纤;被动锁模;法布里-珀罗滤波器

中图分类号 TN25 文献标识码 A

0 引言

光纤超连续谱(supercontinuum,即SC)技术能在广阔的光谱范围内同时产生高重复率的多波长短光脉冲,和其它短脉冲光源相比具有带宽大、稳定性好等优点;因此基于SC的超短脉冲光源是WDM和OTDM及其混合系统中极具潜力的光源^[1~3],这种SC光脉冲源已相继应用于光纤群速度测量、超短光脉冲产生和自频率转换、Tbit/s OTDM/WDM组合复用通信光源等一系列实验,并取得了出色的成绩。此外,SC由于具有宽带相干性,在光学相干时域反射计^[4]、光学相干层析^[5]、光学计量、激光光谱学等方面也有重要应用。国内在SC方面进行了部分理论分析和实验研究^[6~9]。

本文采用很稳定的被动锁模光纤激光器(PMLFL)输出的脉冲泵浦长度仅100 m的DSF,得到谱宽为488 nm的超连续谱,利用法布里-珀罗(F-P)滤波器产生约163路多波长光脉冲,经可调谐滤波器滤波得到波长在1530~1560 nm范围内连续可调、脉宽小于2 ps的近变换限短光脉冲。

1 实验装置

产生SC的实验装置如图1所示。泵浦光源为自研制的非线性偏振旋转被动锁模光纤激光器,中心波长为1557.28 nm,重复频率为13.9 MHz,出射光脉冲的平均功率约为0.313 mW。脉冲宽度约1.5 ps,谱宽为3.1 nm,时间带宽积(TBP)为0.575,说明输出脉冲带有啁啾。输出脉冲经过EDFA放大、提高峰值功率后注入作为SC产生介质的一段长为100 m的DSF,

此光纤的零色散波长为1543.0 nm,色散斜率为0.0651 ps/(nm²·km),在1550 nm处的损耗为0.2 dB/km。实验中用Ando AQ-6315A光谱分析仪(分辨率为0.05 nm)对产生的SC进行观测。同时,SC经过光学带通滤波器(OBF)得到梳状光谱或窄脉冲。在本实验中,首先采用F-P干涉滤波片对SC进行滤波以获得波长等间隔的多波长短光脉冲,其自由光谱范围(FSR)为2.52 nm,透射峰的半极大全宽度(FWHM)为0.186 nm;再采用Santec的可调谐滤波器(TOF)取代F-P滤波器,提取出不同波长处的光脉冲谱切片,使用FR-103MN自相关仪和HP 54615B示波器(500 MHz)测量出切片脉冲的宽度,TOF的中心波长调谐范围为1530~1560 nm,3 dB带宽为1.95±1 nm。

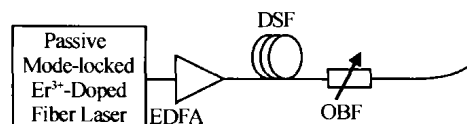


图1 基于被动锁模掺铒光纤激光器的超连续谱实验装置图
Fig. 1 Experimental setup of supercontinuum based on PML EDFL

2 实验结果

当EDFA的泵浦功率逐渐增大到50 mW时,在频谱分析仪上可以观察到最大宽度的超连续谱,如图2所示,反常色散区的SC宽度(20 dB)为237 nm,不平坦度为±3 dB,正常色散区的SC宽度(10 dB)为241 nm,不平坦度为±3.0 dB,对应的20 dB宽度总和达到488 nm,且零色散点两侧的SC在20 dB范围内连续。由于该光谱仪的测量范围到1780 nm处截止,实验中获得的SC已经显著地超出了本光谱仪的响应极限,因此SC的真实宽度实际上显著大于488 nm。图中1557.28 nm波长处存在有一个频谱尖峰,这是由于光纤长度较短、泵浦脉冲的能量未被耗尽,同时这一因素还使得脉冲频谱的不平坦

*国家自然科学基金(69877012)和天津市科委资助项目(003101511)

Tel:022-27402420

收稿日期:2003-09-01

性增大。在较高的峰值功率条件下，伴随的 FWM 和 SRS 效应也随之增强，新的频率分量不断产生并引起能量的转移，使得泵浦残余逐渐减弱，SC 的平坦性增强。

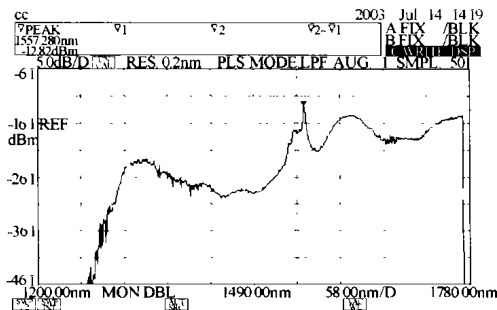


图2 在 100 m DSF 中产生的超连续谱
Fig. 2 Supercontinuum in a 100 m DSF

采用的 F-P 滤波片对 SC 谱进行滤波得到等间隔的多波长梳状光谱,如图 3 所示。梳状光谱的波长间隔为 2.52 nm(约 315 GHz),消光比最大为 18 dB,最小为 8 dB,消光比较小是由于所用的 F-P 滤波器的镀膜反射率和透射功率都较低造成的。在反常色散区,如图 3(b)所示,得到 97 个波长透射输出,梳状光谱继承了 SC 的不平坦性,各透射峰对应波长处的峰值存在相应的起伏,其包络曲线与 SC 完全一致,透射峰的起伏小于 ± 2.5 dB。在正常色散区,如图 3(a)所示,得到 66 个波长透射输出,梳状光谱的平坦性较好,不平坦度小于 ± 1 dB,但是由于 F-P 的镀膜带宽的限制,F-P 的透射特性在 1300 nm 附近发生变化,靠近 1300 nm 一侧的 SC 滤波后频谱消光比不足 10 dB。

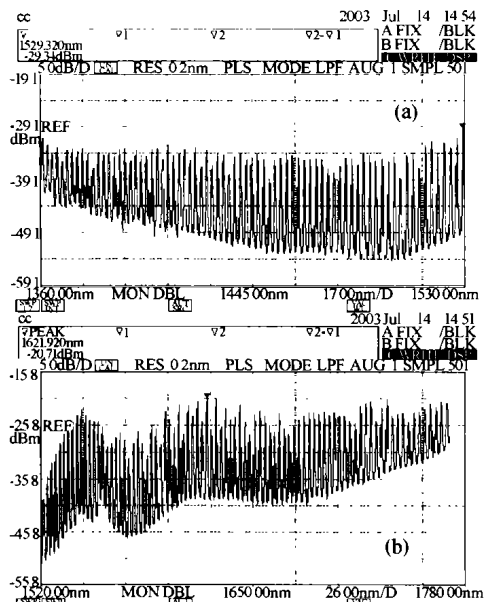


图3 SC经FP滤波得到的多波长脉冲频谱

Fig. 3 Spectra of multiwavelength pulses by a FP filter from SC

实验中使用 TOF 提取出不同波长处的光脉冲谱切片, 中心波长 1550.56 nm 处的脉宽最小, 其光谱如图 4(a) 所示, 各波长处的脉宽和 TBP 如图

4(b)所示。在测量脉宽的过程中,由于光纤和滤波器的损耗等原因,出射光的功率较小,需经过EDFA放大后再接入自相关仪。由于TOF自身透射特性的缘故,靠近1530 nm和1560 nm的谱切片对称较差且输出谱宽较大,而自相关仪测得脉宽和相应的TBP呈现中间小两边大的变化趋势,这说明透射脉冲接近变换极限,但仍包含有少量啁啾,而且中心波长1550 nm附近的啁啾最小。

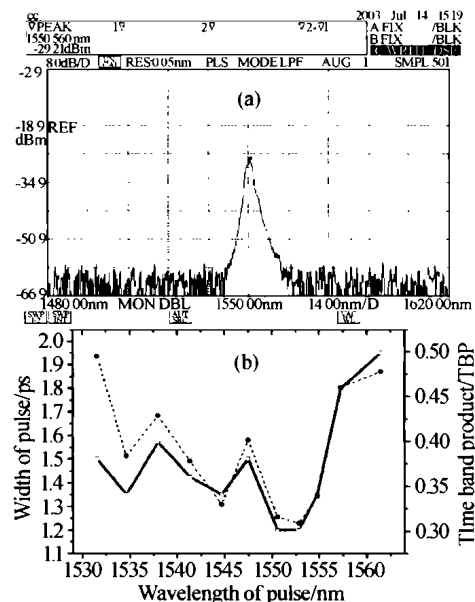


图4 利用可调谐滤波器得到的SC切片

Fig. 4 Slices of supercontinuum by Tunable optical filter (TOF)

由本实验中 100 m DSF 产生的 SC 与较长 DSF 和 DFF 产生 SC 的比较如图 5 所示。当 DSF 的长度较大(4.57 km)时,如图 5(a)所示,反常色散区中 SC 的平坦性更好,但泵浦脉冲波长处则存在多个不同波长的振荡,正常色散区中 SC 的起伏比 100 m DSF 更大,且在零色散波长左侧的正常色散区内的凹陷^[10]深度更大,使得零色散波长两侧的SC在 20 dB 范围内不连续。而采用 4.28 km 色散平坦光纤(DFF)时,如图 5(b)所示,反常色散区中 SC 的平坦性最好,但凹陷部分也更宽更深,正常色散区的 SC 平坦性最差。上述两种情况下,凹陷的深度和宽度都较 100 m DSF 时大,分析认为这是由于 SRS 和 FWM 的共同作用使脉冲能量向长波长方向转移,对此将另文详述。以上比较分析说明光纤过长不利于提高 SC 的总宽度和平坦性,当通过提高泵浦功率以增大频谱展宽效果时,较短的光纤就足以获得宽阔的 SC,其平坦性比长光纤时略差,为了获得更佳的 SC 必须利用数值分析的方法对不同条件下的光纤长度进行优化。而光纤类型的选择已经由 Toshiaki Okuno 证明,色散平坦且渐减光纤(DFDF)的谱展宽效果最佳^[11],DFDF 在宽阔的范围内具有微小的色散,有利于 SPM 的谱展宽效应发挥作用。

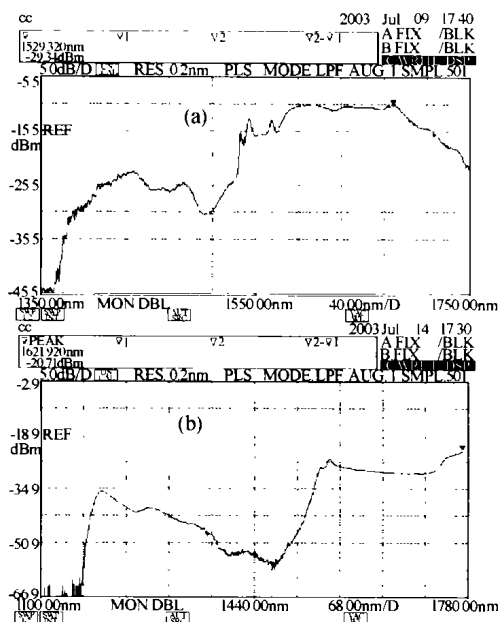


图5 100 m DSF 超连续谱与其它光纤的比较

Fig. 5 Comparison of supercontinuum from 100 m DSF with 4.57 km DSF (a) and 4.28 km DFF (b)

而且负三阶色散(TOD)比正TOD有利于SC的产生.

3 结论

实验结果表明,由于泵浦光源的中心波长1557.28 nm位于光纤的反常色散区内,SC的宽度较大,但平坦性略差.采用被动锁模光纤激光器作泵浦源,经过EDFA放大后其峰值功率可达数百瓦以上,有利于SC的产生和获得更大的SC宽度.尽管本实验中使用的DSF仅有100 m,但展宽效果显著,获得了488 nm宽的SC,不平坦性小于 ± 3 dB;相对于4.57 km DSF而言,本实验获得的SC宽度更大,连续性更好.因此,采用提高脉冲功率、缩短光纤长度的设计方案是适用且可行的,对于缩小SC光源系统的体积、节约资源和成本而言,本实验简单有效.为了获得更好的SC,即更大的SC宽度和更佳的平坦性,应根据实验方案选择优化的DSF光纤长度.

实验数据表明在获得WDM多波长光脉冲或OTDM短脉冲时,F-P滤波器和TOF的透射特性对输出脉冲的影响极大,为了获得质量更好的脉冲,必须使用性能优良的滤波器.

参考文献

- Agrawal G P著,贾东方,余震虹,谈斌,等译.非线性光纤光学原理及应用.北京:电子工业出版社,2002. 266~267
Agrawal G P, translated by Jia D F, Yu Z H, Tan B, et al. Principle and Application of Nonlinear Fiber Optics. Beijing: Electronics Industry Press, 2002. 266~267
- 陈国夫,王贤华,刘东峰.稳定的全光纤飞秒激光光源.光子学报,2001,30(2):148~151
Chen G F, Wang X H, Liu D F. *Acta Photonica Sinica*, 2001, 30(2):148~151
- 樊亚仙,吕福云,谢春霞.窄线宽线形腔调Q双包层掺钕光纤激光器.光子学报,2003,32(3):280~282
Fan Y X, Lü F Y, Xie C X. *Acta Photonica Sinica*, 2003, 32(3):280~282
- Smith E D J, Wada N, Chujo W, et al. High resolution OCDR using 1.55 μ m supercontinuum source and quadrature spectral detection. *Electronics Letters*, 2001, 37(21):1305~1307
- Hartl I, Li X D, Chudoba C, et al. Ultrahigh-resolution optical coherence tomography using continuum generation in an air-silica microstructure optical fiber. *Optics Letters*, 2001, 26(9):608~610
- 陈泳竹,徐文成,崔虎.光纤中超连续谱产生的频域分析.光子学报,2003,32(2):148~151
Chen Y Z, Xu W C, Cui H. *Acta Photonica Sinica*, 2003, 32(2):148~151
- 娄采云,李玉华,伍剑,等.利用10 GHz主动锁模光纤激光器在DSF中产生超连续谱.中国激光(A),2000,27(9):814~818
Lou C Y, Li Y H, Wu J, et al. *Chinese Journal of Lasers(A)*, 2000, 27(9):814~818
- 伍剑,李玉华,娄采云,等.利用超连续谱光源产生超短光脉冲.光学学报,2000,20(3):325~329
Wu J, Li Y H, Lou C Y, et al. *Acta Optica Sinica*, 2000, 20(3):325~329
- 余建军,管克俭,杨伯君,等.利用光纤的非线性效应产生多波长超短光脉冲.中国激光(A),1999,26(7):594~598
Yu J J, Guan K J, Yang B J, et al. *Chinese Journal of Lasers(A)*, 1999, 26(7):594~598
- Nishizawa N, Goto T. IEEE J Select Top Quant Electron, 2001, 7(4):518~524
- Oshiaki O, Masashi O. Generation of ultra-broad-band supercontinuum by dispersion-flattened and decreasing fiber. *IEEE Photon Technol Lett*, 1998, 10(1):72~73

Experiment Study on Supercontinuum in a 100 m Dispersion-shift Fiber

Li Zhiyong, Wang Zhaoying, Wang Yongqiang, Jia Dongfang, Li Shichen

College of Precision Instrument and Optoelectronics Engineering, Tianjin University, Laboratory of Opto-electronics

Information Science and Technology, EMC, Tianjin 300072

Received date: 2003-09-01

Abstract The total 20 dB bandwidth of 488 nm of supercontinuum (SC) with unevenness less than ± 3.0 dB in a 100 m Dispersion-Shifted Fiber (DSF) with zero dispersion wavelength of 1543.0 nm was obtained in the experiment, which was based on the passive modelocked Erbium-doped fiber laser with the repetition rate of 13.9 MHz and the center wavelength of 1557.28 nm. Thus multi-wavelength pulses of 163 channels were picked up by a Fabry-Perot filter and short pulses with duration of 1.2 ~ 2.0 ps and a little frequency chirp by a tunable optical filter. The results of the experiment were compared with that of 4.57 km DSF and 4.28 km DFF and the data shows that the setup of 100 m DSF was a good idea.

Keywords Supercontinuum (SC); Dispersion-shifted fiber (DSF); Passive mode-locking; Fabry-Perot filter



Li Zhiyong was born in 1978 in Sichuan Province. He received his Bachelor's degree in 2001 from Tianjin University. Now he is a master graduate of College of Precision Instrument and Optoelectronics Engineering, Tianjin University, Tianjin. His major research focuses on modelocked fiber lasers, compression of short pulses, SC pulse sources and OTDM.